УДК 676.054.5

ОПРЕДЕЛЕНИЕ РЕЖИМНЫХ ПАРАМЕТРОВ ГИДРОРАЗБИВАТЕЛЯ НА ОСНОВЕ БАЛАНСА ЭНЕРГИИ

ШУЛЬДОВА С. Г.

Белорусский национальный технический университет

Гидроразбиватели различных типов широко используются в целлюлозно-бумажной, химической, торфяной и других отраслях промышленности для приготовления гидросмесей. Принцип действия гидроразбивателя основан на интенсивном перемешивании жидкости и распускаемого в ней материала за счет механических и гидродинамических сил, возникающих при движении ротора с лопастями. Процесс роспуска сырья в ванне гидроразбивателя составляет значительную долю в энергетическом балансе технологий, использующих в качестве материала гидросмесь.

Связь между мощностью ротора и условиями процесса принято выражать в форме зависимости

$$N_p = K_N \rho n^3 d^5, \qquad (1)$$

где ρ — плотность пульпы, кг/м³; n — частота вращения ротора, с¹; d — наибольший диаметр расположения кромок ротора, м; K_N — критерий мощности, который в общем случае является функцией центробежного критерия Рейнольдса, $K_N = f(\mathrm{Re}_{\mathrm{II}})$. Для гидроразбивателей значения K_N находятся в пределах 0,1—0,3 [1].

В [2] ротор гидроразбивателя рассматривается как колесо насоса, развивающее подачу Q и сообщающее находящейся в ванне массе кинетическую энергию. Эта энергия расходуется на преодоление гидравлических потерь давления на трение $\Delta p_{\rm Tp}$, диффузорности $\Delta p_{\rm д}$ и вихреобразования $\Delta p_{\rm y}$, связанного с ударами. В ванне гидроразбивателя, содержащей рабочую жидкость и распускаемый материал, совершается замкнутый круг циркуляции. Сумвется собразования сумвершается замкнутый круг циркуляции. Сумвется собразования собразования сумвершается замкнутый круг циркуляции. Сумвершается собразования собразовани

марная энергия жидкости в начальном сечении равна суммарной энергии жидкости в конечном сечении плюс потери энергии. При работе гидроразбивателя в установившемся режиме обеспечивается баланс давления в круге циркуляции, т. е. $p_{\scriptscriptstyle {
m T}} = \oint \Delta p_{\scriptscriptstyle {
m T}}$, где $p_{\scriptscriptstyle {
m T}}$ — создаваемое ротором давление; $\oint \Delta p_{\scriptscriptstyle {
m T}}$ — потери давления в круге пиркуляции.

Через давление и расход может быть выражена мощность $N_p = Qp_{\scriptscriptstyle T}$. Для определения режима работы гидроразбивателя необходимо знать такие соотношения расхода и давления, которые удовлетворяют условию $p_{\scriptscriptstyle T} = \oint \Delta p_{\scriptscriptstyle T}$. Рассчитать эти значения возможно, исходя из баланса мощности $Qp_{\scriptscriptstyle T} = \rho \, K_N \, n^3 d^5$.

Для определения давления используется методика [3], согласно которой

$$p_{\text{T}\infty} = \rho (u_2 c_{u_2} - u_1 c_{u_1}),$$
 (2)

где $p_{\text{т}\infty}$ — теоретическое давление при бесконечном числе лопастей; u — окружная скорость; c_u — проекция абсолютной скорости на окружную. Индекс 1 относится к входу, а индекс 2 — к выходу с лопаток ротора. Различие между $p_{\text{т}\infty}$ и теоретическим давлением $p_{\text{т}}$ при конечном числе лопастей учитывается поправочным коэффициентом μ , который определяется выражением

$$\mu = 2 \frac{\Psi}{z} \frac{1}{1 - (R_1/R_2)^2},$$
 (3)

где $\Psi = (0,55-0,65)+0,6\sin\beta_2$ — коэффициент; β_2 — лопастной угол; z — число лопастей ротора. При этом $p_{_{\rm T}}=p_{_{\rm T\infty}}/(1+\mu)$.

Для определения значений u и c_u строятся треугольники скоростей на входе и выходе из лопатной системы ротора (рис. 1).

При выходе из лопастной системы жидкость имеет угловое отклонение от лопастных углов, поэтому жидкостный угол β'_2 меньше лопастного. Общими элементами жидкостного и лопастного треугольников будут переносная скорость u_2 и меридиональная расходная составляющая скорости c_{m_2} . На рис. 1 элементы скорости жидкостного треугольника обозначены штрихом.

Для определения давления, создаваемого ротором, необходимо в (2) подставить значения составляющих скоростей по жидкостному треугольнику. Тогда

$$p_{\rm T} = \rho \left(u_2 c'_{u_2} - u_1 c'_{u_1} \right), \tag{4}$$

где $u_2 = \omega R_2$ и $u_1 = \omega R_1$; ω – угловая скорость ротора; R_1 , R_2 – радиусы расположения входных и выходных кромок лопастей ротора;

$$c'_{u_2} = c_{u_2}/(1+\mu)$$
; $c_{u_2} = u_2 - c_{m_2} \operatorname{ctg} \beta_2$;
$$c_{m_2} = \frac{Q}{2\pi R_2 b_2}$$
;

Q – расход в круге циркуляции.

Фактическое давление ротора меньше теоретического на величину гидравлических по-

потерь в роторе. Эти потери включают «ударные» потери $\Delta p_{\rm y}$ на входе в ротор, диффузорные потери $\Delta p_{\rm x}$ и потери на трение $\Delta p_{\rm xp}$

$$\sum \Delta p_{\rm p} = \Delta p_{\rm Tp} + \Delta p_{\rm g} + \Delta p_{\rm y} . \tag{5}$$

«Ударные» потери зависят от угла атаки $\Delta \beta_y$ и определяются по формуле [3]

$$\Delta p_{y} = \rho \varphi_{y} \frac{\Delta C_{u}^{2}}{2}, \qquad (6)$$

где ϕ_y — эмпирический коэффициент, зависящий от угла атаки $\Delta\beta_y$, $\Delta C_u = C_{u_1}$ — проекция абсолютной скорости на окружную на входе в лопастную систему. Значения коэффициента удара ϕ_y в зависимости от угла «атаки» получены экспериментальным путем [2].

Величина потерь в диффузоре [3]

$$\Delta p_{_{\mathrm{H}}} = \rho k_{_{\mathrm{H}}} \varphi_d \frac{(w_1 - w_2)^2}{2}, \qquad (7)$$

где w_1 — относительная скорость при входе в диффузорный участок; w_2 — то же при выходе; $k_{\rm H}$ — коэффициент неравномерности потока; ϕ_d — коэффициент диффузорных потерь, по обще принятым рекомендациям, $\phi_d = 3.2 {\rm tg} \frac{\alpha}{2} \sqrt[4]{\rm tg} \frac{\alpha}{2}$ — для круглого и плоского диффузора; $\phi_d = 6.2 {\rm tg} \times \frac{\alpha}{2} \sqrt[4]{\rm tg} \frac{\alpha}{2}$ — для квадратного диффузора.

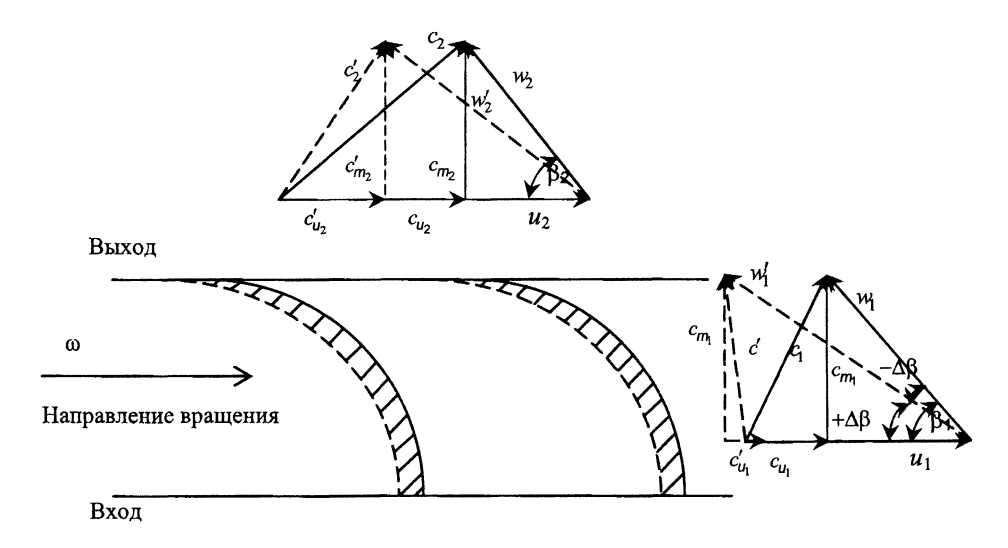


Рис. 1. Развертка лопастной системы и треугольники скоростей

Потери давления на трение рассчитываются по известной формуле Дарси — Вейсбаха с учетом того, что рассматриваемые русла имеют поперечные сечения, отличные от круглого [2]:

$$\Delta p_{\rm rp} = \rho \lambda \frac{l_{\rm cp}}{4R_{\rm r_{op}}} \frac{Q^2}{2F_{w_{\rm cp}}^2}, \tag{8}$$

где λ — коэффициент гидравлических потерь на трение; $R_{\Gamma_{\rm cp}}$ — средний гидравлический радиус по рассматриваемому участку; $F_{\rm w_cp}^2$ — средняя площадь поперечного сечения рассматриваемого участка.

Коэффициент гидравлических потерь на трение λ в общем случае является функцией центробежного критерия Рейнольдса Re_ц. Однако вследствие изменения физико-механических свойств гидросмеси в процессе роспуска материала целесообразно использование экспериментальных данных [2] в зависимости от вида распускаемого материала и его концентрации.

Для определения гидравлических потерь в ванне гидроразбивателя круг циркуляции разделится на два участка: участок 1 — восходящего потока (от кромок ротора до верхней отметки свободного уровня жидкости в ванне); участок 2 — нисходящего потока (от верхней отметки свободного уровня жидкости в ванне до входных кромок лопастей ротора). Между восходящим и нисходящим потоками находится переходная зона, характеризующаяся малыми и неустановившимися значениями скоростей. В результате вращательного движения пульпы на свободной поверхности возникает воронка, способствующая поступлению материала к ротору [1].

На участке 1 гидравлические потери Δp_1 складываются из потерь давления на трение $\Delta p_{\rm Tp}$, диффузорных потерь $\Delta p_{\rm Z}$ и «ударных» потерь $\Delta p_{\rm y}$, связанных с установкой в днище и на стенках ванны направляющих устройств с учетом статического напора z_0 . Потери трения на участке

$$\sum \Delta p_1 = \Delta p_{\rm TD} + \Delta p_{\rm II} + \Delta p_{\rm V} + z_0 \rho g \ . \tag{9}$$

Гидравлические потери давления в нисходящем потоке соответственно рассчитываются по формуле

$$\sum \Delta p_2 = \Delta p_{\rm Tp} + \Delta p_{\rm K} - z_0 \rho g , \qquad (10)$$

где $\Delta p_{\mbox{\tiny K}}$ – конфузорные потери, которыми можно пренебречь.

Таким образом, потери в круге циркуляции

$$p_{\rm r} = \oint \Delta p_{\rm r} = \Sigma \Delta p_{\rm r} = \Sigma \Delta p_{\rm p} + \Sigma \Delta p_{\rm l} + \Sigma \Delta p_{\rm 2}. \quad (11)$$

Определив потери в круге циркуляции, можно вычислить Q и $p_{\scriptscriptstyle \rm T}$, решив одним из численных методов уравнение

$$Q\Sigma\Delta p_{\rm r} - \rho K_N n^3 d^5 = 0. \tag{12}$$

Нами использован метод итераций с применением следующего алгоритма:

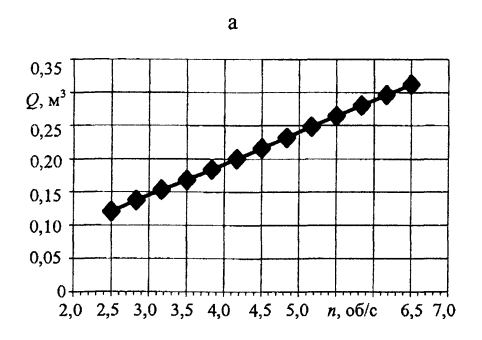
- 1) задать начальное значение Q и определить потери давления в круге циркуляции;
 - 2) вычислить значение выражения (12);
- 3) если полученное значение больше заданной точности вычислений, то повторить расчет при новом значении Q. Если результат больше 0, то Q следует увеличить и, наоборот, уменьшить, если результат вычисления выражения меньше 0;
- 4) определить гидравлическую мощность ротора $N_{\rm p} = Q \, p_{\rm T}$.

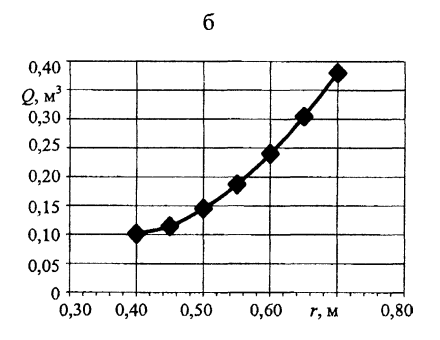
Для расчета мощности разработана программа в виде приложения для MS Excel в среде Visual Basic for Application.

Исходными данными для расчета являются: частота вращения ротора; внешний радиус ротора; внутренний радиус ротора; лопастной угол; ширина лопасти ротора; число лопастей ротора; коэффициент мощности; плотность среды; радиус ванны гидроразбивателя; высота заполнения ванны гидроразбивателя; угол «атаки» на направляющее устройство; размеры и число направляющих устройств и коэффициент потерь трения λ .

Коэффициент потерь трения λ выбирается из списка значений в зависимости от вида сырья и концентрации.

Варьирование исходных данных: частоты вращения ротора n (2,5–6,5 об/с); внешнего радиуса ротора $r_{\rm B}$ (0,4–0,7 м) позволило определить зависимости расхода Q гидромассы в круге циркуляции (рис. 2), теоретического и фактического давлений от этих величин для гидроразбивателя ST4 (изготовитель фирма «Эшен Висс»).





 $Puc.\ 2.\ 3$ ависимости расхода Q от: а – частоты вращения ротора; б – его радиуса

Анализируя изменения давления в зависимости от конструктивных параметров и работы ротора, можно отметить значительное увеличение гидравлических потерь давления в роторе с ростом числа оборотов n и увеличением радиуса ротора $r_{\rm B}$. Несмотря на повышение интенсивности процесса с ростом n, увеличиваются и затраты мощности (показатель эффективности процесса) на гидророспуск.

выводы

1. Разработанная модель движения массы в гидроразбивателе позволяет определить основные параметры режима его работы, а также затраты мощности на роспуск сырья.

2. Полученные в результате расчета значения основных режимных параметров хорошо согласуются с реальными показателями гидроразбивателя ST4 при производстве торфяных горшочков.

ЛИТЕРАТУРА

- 1. Гаузе А. А., Гончаров Н. В., Кугушев И. Д. Оборудование для подготовки бумажной массы. М.: Экология, 1992.-352 с.
- 2. **Терентьев О. А.** Гидродинамика волокнистых суспензий в целлюлозно-бумажной промышленности. М.: Лесн. пром-сть, 1980. 248 с.
- 3. **Кочкарев А. Я.** Гидродинамические передачи. Л.: Машиностроение, 1971. 336 с.

Вестник БНТУ, № 2, 2006